

粘性土の除荷時の挙動について

京都大学防災研究所 青木 正吉  
 京都大学 大学院 ○ 三村 衛

圧等方応力状態で正規または過圧密した粘性土に対して、せん断応力を与え、それを除荷したときの挙動、とくにタイレタンシー挙動に着目し、せん断応力変形履歴の影響について調べた。<sup>1)2)3)</sup> これら一連の研究から、除荷後、応力比が挙動は、タイレタンシーの発生しない部分を越え再び顕著なタイレタンシーを発生する特性を示すことが明らかになった。本報告は、(P, q, w)空間での状態境界面の概念を用い、正規圧密粘性土の除荷後の弾性領域(タイレタンシーの発生しない領域として定義)の大きさを三次元的に評価し、排水(排水)・非排水(排水)試験の結果を統一的に解釈することを試みたものがある。ここで P: 平均有効応力,  $q_i = \tau_{\max} - \sigma_v$  軸差応力, w: 含水比である。

**実験** 繰り返し後再圧密した粘性土を用い、 $p_0 = p_0 (392 \text{ kPa})$  で正規圧密した後、排水または非排水とせん断した。排水試験は応力制御により  $p_0$  一定で、所定の応力比  $q_0 (= 2P) = q_0$  まで三軸圧縮応力状態とせん断した後、除荷し、伸張状態と破壊させた。応力比が関係より、除荷時にタイレタンシーが発生し始める点(添字 E を付す)を決定した。一方非排水試験は、ひずみ制御(軸ひずみ速度  $\dot{\epsilon}_a = 2.5 \times 10^{-3}$ ) により所定の応力比  $q_0$  まで三軸圧縮応力状態とせん断した後除荷し、伸張状態と破壊させた。得られた有効応力経路から、除荷時に  $p_0$  変化がほぼ無い部分を経て再び  $p_0$  に変化が現れ始める点(添字 E を付す)を決定した。この点以後排水試験同様、タイレタンシーが顕著になる。実験、詳細は文献(1)に譲る。

**結果** 図1に排水試験、図2に非排水試験の弾性領域の大きさ ( $q_R - q_{Ee}$ ) と、除荷開始時の応力比  $q_0$  の関係を示した。図2には、除荷時にせん断応力  $q$  と、せん断ひずみ  $\epsilon$  ( $\dot{\epsilon}_a$ ) との直線になる領域 ( $q_R - q_{Ee}$ ) も併せて示しているが、これよりむしろ、除荷後  $q$  と  $\epsilon$  の関係の直線性が失われ、ひずみで、タイレタンシーの発生が見られる。  $q$  と  $\epsilon$  の直線性に着目した

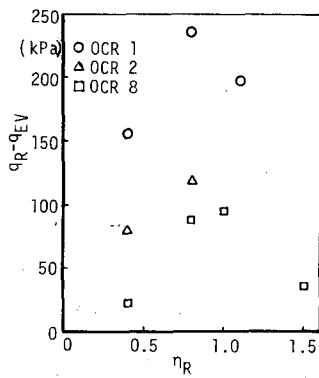


図 1

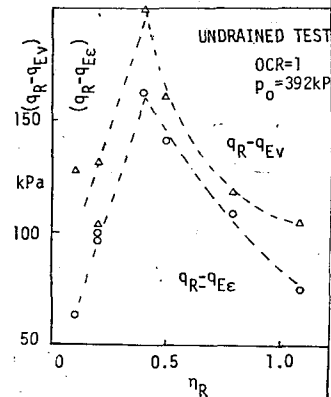


図 2

弾性領域に対するせん断履歴の影響について(は既に考察<sup>4)</sup>を加えているのを省略する。両図から弾性領域は  $\eta_R$  がある値(排水では 0.8, 非排水では 0.4)以下では  $q_0$  とともに増大する  $\eta_R$  がそれよりも大きくなるし逆に小さくなる傾向が見られる。

**考察** (P, q, w)空間において、ある領域の外には上記の状態は存在しないという領域; 状態境界面 (State Boundary Surface; 略して S. B. S.) の概念を導入され、正規圧密粘性土の応力〜

ひずみ挙動を説明する上で重大な役割を果たしている。Cambridge Theory<sup>5)</sup>にみられるように、正規圧密粘性土の非排水径路群は、S. B. S.を形成し(仮定①)、(P, q)面上の非排水有効応力径路は圧密圧力 $P_0$ に拘らず、原点に関して相似である(仮定②)と仮定すると、S. B. S.は( $q/P_0$ ,  $P/P_0$ )の平面で一義的に決定される。ここに $P_0$ は、Hvorslevの等価圧密圧力であり、非排水状態では $P_0$ に等しい。さらに正規圧密状態で、P一定で排水せん断したときの状態径路群はS. B. S.面上にある(仮定③)と仮定する。以上の仮定を踏まえ、排水試験に際しておこる $\omega$ の変化を $P_0$ の変化に変換することにより、排水、非排水の結果を比較する方法を試みた。仮定①②③より、正規圧密状態から、排水(P一定)、または非排水せん断したとき得られる( $q/P_0$ ,  $P/P_0$ )面上の状態径路は同一になり、図1、図2の結果を統一的に解釈する上で有効である。図3はこのような考え方に基づいて、図1に示した実験の状態径路と、図2に示した実験のR点(除荷開始点)、およびE点をプロットしたものである。排水試験の状態径路は非排水試験から得られた弾性領域の限界(図に点線で示す)付近から曲がり始めている。すなわちダイレイタンスが発生し始めていることがわかる。このことは(P, q,  $\omega$ )空間で非排水試験から決定された弾性領域は、排水試験の挙動も説明するものであることを示している。図4は、 $\eta_R$ と $\eta_{EV}$ との関係を示したものであり、図3の結果と同様に、 $\eta_R$ が決まれば $\eta_{EV}$ が決定されることを表わして、 $\eta_R \sim \eta_{EV}$ 関係を定式化するれば、状態境界面の形がわかって、この場合、図3の弾性領域の大きさを三次元的に評価できる。

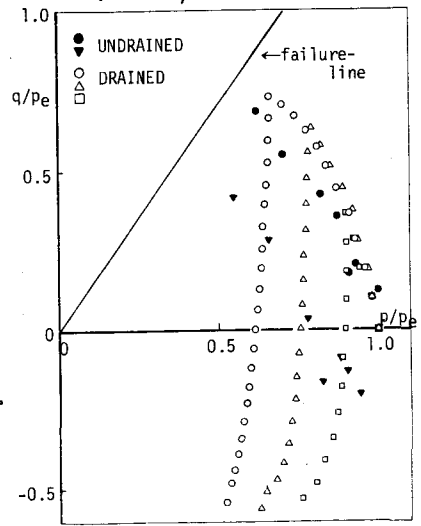


図 3

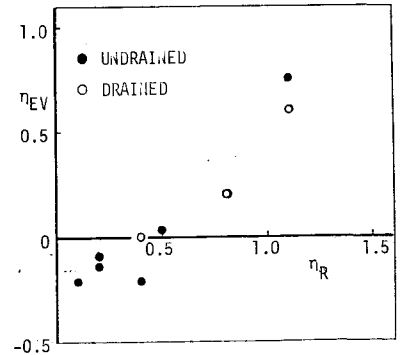


図 4

おわりに せん断変形履歴をS. B. S.上で与えた場合の除荷時の弾性領域の大きさについて、三次元的に評価した。S. B. S.内におけるせん断履歴の影響については、今後の課題としたい。

**謝辞** 平素、御指導を賜っている京都大学防災研究所 柴田徹教授、田足五紀尚助教授に心より謝意を表します。また実験に際しては、同清水博樹技官の援助に負うところが大きい。記して謝意を表します。なお、実験データの解析には京大防災研究所資料センター FACOM-M130 電子計算機を使用した。

**参考文献** 1) 今里悦二(1980) 京都大学工学部卒業研究論文 2) 清水正喜, 今里悦二(1980) 第15回土質工学会研究発表会 pp.473-476 3) 清水正喜(1980) 京都大学防災研究所年報 23-B2 pp.73-86 4) 清水正喜, 三村衛(1981) 第16回土質工学会研究発表会(発表済) 5) 見出し Rescoe, K.H. and Burland, J.B., Engineering Plasticity, Cambridge Univ. Press 1968 pp.535-609